

Анализ градуировочной характеристики показал, что отклонения от линейности в сторону меньших значений появляются вблизи границ диапазона измеряемых дальностей. Точность измерений или дисперсия ухудшается на участках нелинейности 0,3...0,5 м и более 9,5 м, но не превышает 1%.

Причинами возникновения нелинейных участков на градуировочной характеристике являются как внешние условия в виде переменного коэффициента отражения поверхности объекта, так и внутренние на-водки от излучательного блока. Уменьшение значения дисперсии достигалось увеличением мощности локационного оптического сигнала и совершенствованием экранирования усилителя мощности в блоке излучателя.

\*\*\*

Таким образом, использование прямоотсчетного фазового метода для измерения малых дистанций, реа-

лизованного на современной элементной базе с применением оригинальных схемно-конструкторских методов, позволило создать оптико-электронный дальномер с улучшенными техническими и метрологическими характеристиками для работы в динамических условиях.

#### ИСПОЛЬЗОВАННЫЕ ИСТОЧНИКИ

1. Костецкая Я. М. Свето- и радиодальномеры.— Львов: Вища школа, 1986.
2. Мусыяков М. П., Миценко И. Д. Оптико-электронные системы ближней дальнометрии.— М.: Радио и связь, 1991.
3. Протопопов В. В., Устинов Н. Д. Инфракрасные лазерные локационные системы.— М.: Воениздат, 1987.
4. Заявка 2734645 A1 Франции. G 01 S. Портативный прибор с лазерным диодом для проведения точных измерений при выполнении строительных работ / Botte Sylvain. — 22.05.95.
5. Лобачев М. В. Радиоэлектронная геодезия.— М.: Недра, 1980.

*К. ф.-м. н. К. В. КОЛЕЖУК, д. ф.-м. н. В. Н. КОМАЩЕНКО,  
Г. И. ШЕРЕМЕТОВА, к. т. н. Ю. Н. БОБРЕНКО*

Украина, г. Киев, Институт физики полупроводников  
им. В. Е. Лашкарева  
E-mail: komas@isp.kiev.ua

Дата поступления в редакцию  
03.02 2003 г.

Оппонент к. т. н. В. В. РЮХТИН  
(ЦКБ "Ритм", г. Черновцы)

## МНОГОСЛОЙНЫЕ ГЕТЕРОСТРУКТУРЫ НА ОСНОВЕ ПОЛИКРИСТАЛЛИЧЕСКИХ ПЛЕНОК СОЕДИНЕНИЙ $A^2B^6$

*Исследованы тонкопленочные гетероструктуры типа  $p\text{-}Cu_{1,8}S/n\text{-}A^2B^6/n\text{-}A^2B^6$ , перспективные для конструирования новых типов эффективных сенсоров излучения.*

Стремительное развитие современной техники требует расширения круга полупроводниковых материалов, перспективных для разработки новых типов приборов, в частности, сенсоров коротковолнового излучения. К числу таких материалов относятся и широкозонные соединения  $A^2B^6$ . Однако получение гомогенных  $p\text{-}n$ -переходов на основе этих материалов остается проблематичным. Выход из ситуации может быть связан с созданием гетероструктур (ГС). Известно [1], что монокристаллические ГС в системе решеточно-согласованных соединений  $A^3B^5$  нашли широкое применение при конструировании принципиально новых приборов лазерной техники, микро- и оптоэлектроники.

Ранее нами было показано, что к поликристаллическим ГС на основе полупроводников  $A^2B^6$  (среди которых нет материалов с близкими значениями постоянных решеток) также можно применять некоторые гетероструктурные концепции для получения эффективных фотопреобразователей [2]. Целью настоящей работы является поиск путей создания новых типов сенсоров излучения на основе ГС-соединений  $A^2B^6$  с использованием специфических особенностей, которые присущи гетеропереходам.

Образцы для исследований представляли собой четыре типа гетероструктур:

$p\text{-}Cu_{1,8}S/n\text{-}CdSe/n\text{-}CdS$ ,  $p\text{-}Cu_{1,8}S/n\text{-}CdTe/n\text{-}CdS$ ,  
 $p\text{-}Cu_{1,8}S/n\text{-}CdS/n\text{-}CdSe$ ,  $p\text{-}Cu_{1,8}S/n\text{-}ZnS/n\text{-}CdSe$ .

Они были получены осаждением слоев соединений  $A^2B^6$  методом горячих стенок с несколькими автономными источниками. При их изготовлении создавались условия для эпитаксиального роста слоев на ориентирующих подложках [2, 3]. В качестве последних использовались текстурированные низкоомные поликристаллические пленки CdS или CdSe толщиной  $d \sim 3$  мкм, осажденные на металлизированные ситалловые пластины.

На этих подложках в едином технологическом цикле, без нарушения вакуума, выращивались фотоактивные слои ГС. Толщина таких высокоомных, близких к стехиометрическому составу, пленок  $A^2B^6$  соответствовала эффективной длине поглощения возбуждающего излучения ( $d \sim 1/k \sim 1$  мкм, где  $k$  — коэффициент поглощения). Для согласования решеток между ориентирующей подложкой и фоточувствительной составляющей выращивались нанометровые ( $d \sim 30\text{--}50$  нм) промежуточные слои многокомпонентных твердых растворов. Изготовление ГС завершалось термическим осаждением в вакууме на ранее выращенный фотоактивный слой барьера-образующей пленки вырожденного халькогенида меди ( $Cu_{1,8}S$ )  $p$ -типа проводимости ( $d \sim 30$  нм).

Анализ результатов комплексных исследований морфологических параметров, фазового состава и структурных особенностей показал, что изготовленные ГС были достаточно совершенными. Это способствовало достижению высоких фотоэлектрических параметров сенсоров излучения на их основе.

В валентной зоне на металлургических границах ГС из-за разных значений энергии электронного сродства и ширины запрещенной зоны контактирующих материалов возникают потенциальные барьеры  $\Delta E_v$  (рис. 1). Оказалось, что их можно использовать как для повышения эффективности фотопреобразования, так и для конструирования сенсоров с заданным спектральным диапазоном чувствительности.

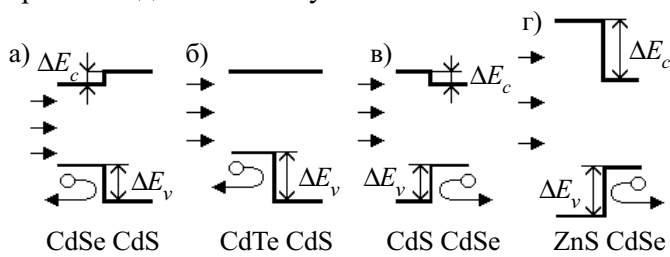


Рис. 1. Схематические зонные диаграммы  $n-n$ -гетеропереходов:  
а —  $n$ -CdSe/ $n$ -CdS; б —  $n$ -CdTe/ $n$ -CdS; в —  $n$ -CdS/ $n$ -CdSe; г —  $n$ -ZnS/ $n$ -CdSe

Полученные ГС представляют собой, по сути,  $p^+—n$ -структуру. Основная доля носителей заряда генерируется светом непосредственно в области потенциального барьера (фотоактивный  $i$ -слой  $A^2B^6$ ), где действует сильное электростатическое поле. Поглощение тонкого  $p^+$ -слоя в видимом диапазоне спектра составляет <10% (сульфид меди является непрямоизенным полупроводником). В гетероструктурах  $p$ -Cu<sub>1,8</sub>S/ $n$ -CdSe/ $n$ -CdS и  $p$ -Cu<sub>1,8</sub>S/ $n$ -CdTe/ $n$ -CdS фотогенерация в слое сульфида кадмия практически отсутствует вследствие большой ширины запрещенной зоны этой составляющей (освещение осуществляется со стороны сульфида меди). Можно ожидать, что и рекомбинационные потери носителей заряда в сульфиде кадмия невелики. Кроме того, барьеры  $\Delta E_v$  (рис. 1, диаграммы а и б) препятствуют прохождению дырок, которые генерированы в фоточувствительном слое ГС, в области их возможной рекомбинации [4, с. 24].

На рис. 2 представлены спектральные характеристики изготовленных приборов. Здесь по оси ординат отложена внешняя квантовая эффективность  $\eta$ . Отметим высокую чувствительность сенсоров излучения. Так, квантовая эффективность для гетероструктур  $p$ -Cu<sub>1,8</sub>S/ $n$ -CdSe/ $n$ -CdS и  $p$ -Cu<sub>1,8</sub>S/ $n$ -CdTe/ $n$ -CdS (кривые 1 и 2) близка к предельной ( $\eta \sim 0,9$ ).

Структуры  $p$ -Cu<sub>1,8</sub>S/ $n$ -CdS/ $n$ -CdSe и  $p$ -Cu<sub>1,8</sub>S/ $n$ -ZnS/ $n$ -CdSe представляют собой, в принципе, гетеропереходы с широкозонным оптическим "окном" (излучение падает со стороны широкозонной компоненты). Поэтому можно ожидать существенного вклада селенида кадмия в общий фототок. Однако оказалось, что чувствительность ГС в области собствен-

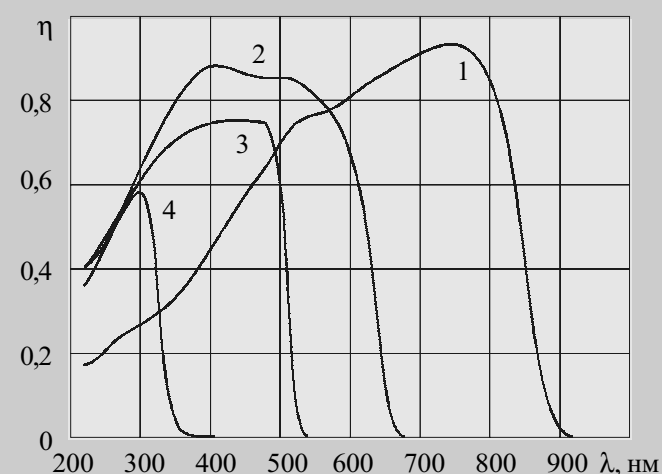


Рис. 2. Спектральная зависимость квантовой эффективности сенсоров излучения на основе гетероструктур:

1 —  $p$ -Cu<sub>1,8</sub>S/ $n$ -CdTe/ $n$ -CdS; 2 —  $p$ -Cu<sub>1,8</sub>S/ $n$ -CdSe/ $n$ -CdS;  
3 —  $p$ -Cu<sub>1,8</sub>S/ $n$ -CdS/ $n$ -CdSe; 4 —  $p$ -Cu<sub>1,8</sub>S/ $n$ -ZnS/ $n$ -CdSe

ного поглощения CdSe практически отсутствует (кривые 3, 4). На наш взгляд, такой вид спектральных характеристик обусловлен следующим. В указанных ГС дополнительные потенциальные барьеры в валентной зоне ( $\Delta E_v > 0,6$  эВ) гетеропереходов  $n$ -CdS/ $n$ -CdSe и  $n$ -ZnS/ $n$ -CdSe (рис. 1, диаграммы в и г) блокируют перенос неосновных носителей, генерированных светом в узкозонном селениде кадмия, в широкозонную часть гетероструктуры (CdS и ZnS).

\*\*\*

Таким образом, использование эпитаксиальной технологии выращивания и потенциальных барьеров на границе полупроводников с различной шириной запрещенной зоны открывает новые возможности для разработки фотоэлектрических приборов в решеточно-несогласованных системах  $A^2B^6$ . Встраивание широкозонного полупроводника на тыльной поверхности ГС способствует минимизации рекомбинационных потерь носителей заряда в объеме фотоактивного слоя и в области тыльного контакта.

Создание в ГС дополнительных  $n-n$ -гетеропереходов позволяет также конструировать новые типы эффективных сенсоров излучения на основе широкозонных полупроводников, выращенных на буферной подложке более узкозонного материала.

#### ИСПОЛЬЗОВАННЫЕ ИСТОЧНИКИ

1. Алферов Ж. И. Двойные гетероструктуры: концепция и применение в физике, электронике и технологиях // УФН. — 2002. — Т. 172, № 9. — С. 1068—1086.

2. Комащенко А. В., Колежук К. В., Горбик П. П. и др. Высокоэффективные фотопреобразователи на основе поликристаллических гетероструктур соединений  $A^{II}B^{VI}$  // Письма в ЖТФ. — 2000. — Т. 26, вып. 5. — С. 1—6.

3. Венгер Е. Ф., Колежук К. В., Комащенко В. Н. и др. УФ-сенсор, "слепой" к видимому свету // Допов. НАН України. — 2002. — № 2. — С. 82—86.

4. Коутс Т., Микин Дж. Современные проблемы полупроводниковой фотоэнергетики — М.: Мир, 1988.